

## 논문 88-1-12

CdCl<sub>2</sub>를 첨가한 Cd<sub>1-x</sub>Zn<sub>x</sub>S 소결 막의 미세구조 변화

Microstructural Change of Cd<sub>1-x</sub>Zn<sub>x</sub>S Films Sintered with CdCl<sub>2</sub>

설 어 송\*  
임 호빈

한국과학기술원 박사과정  
한국과학기술원 교수

Yeo-Song Seol\*  
Ho-Bin Im

KAIST  
KAIST

### I. Abstract

Polycrystalline Cd<sub>1-x</sub>Zn<sub>x</sub>S films were prepared by coating a slurry which consisted of CdS, ZnS, CdCl<sub>2</sub> and propylene glycol on glass substrates and by sintering in a nitrogen atmosphere. Microstructures, optical transmittance and electrical resistance of the sintered films have been investigated.

Grain shape of Cd<sub>1-x</sub>Zn<sub>x</sub>S films sintered in a sealed boat was nearly spherical but the shape became irregular when sintered in evaporating condition due to occurrence of CIGM (Chemically Induced Grain-boundary Migration).

Controlling the rate of evaporation of CdCl<sub>2</sub>, sintered Cd<sub>1-x</sub>Zn<sub>x</sub>S films with high optical transmittance and low electrical resistance could be obtained.

### II. 서론

태양전지의 광부과층으로 사용되는 CdZnS 소결 막은 광부과도가 높아야 하며 저밀하고 입자크기가 증가할수록 junction quality가 향상되므로 광부과층의 미세구조를 향상시키는데 관한 연구는 매우 중요한 것으로 생각된다.

CdS와 ZnS는 에너지 금지대폭이 각각 2.4eV, 3.6eV로서 CdS에 ZnS를 첨가하면 CdS 막에 비해 CdZnS 막의 에너지 금지대폭이 증가하여 광부과 영역이 넓어지므로 태양광을 더 효율적으로 이용할 수 있다.

소결법으로 CdZnS 막을 제조한 것은 Seol 등 [1]에 의해 처음 시도되었는데, Zn농도 증가에 따라 기공이 많아지고 결정립이 작아지는 것을 관찰하였다. 그 이후에 Park 등 [2, 3]은 ZnCl<sub>2</sub> 분위기를 이용하여 광부과도가 높은 CdZnS 소결 막을 제조하였으나 CdZnS/CdTe 태양전지의 효율은 향상되지 않았다고 보고되었다.

그러므로 본 연구에서는 CdZnS/CdTe 태양전지에서 CdZnS 소결 막의 미세조직이 큰 영향을 미친다고 생각되어 CdCl<sub>2</sub> 증발속도에 따른 CdZnS 소결 막의 미세조직 변화를 관찰하고 이에 따른 광부과도와 전기저항을 살펴보았다.

### III. 실험 방법

순도가 5N인 CdS 분말과 ZnS 분말을 볼비로 혼합하고 결합제로 propylene glycol을 적당량 첨가하고 융제로 CdCl<sub>2</sub>를 첨가하여 mortar 와 pestle로 혼합하였다. 혼합된 slurry를 165 mesh stainless steel screen을 사용하여 초음파 세척 펀 유리 기판 위에 도포한 후에 120 °C에서 3시간 건조시켜 석영병에 넣어 소결하여 CdZnS 소결 막을 제조하였다. 소결 시 펀의 산화를 방지하기 위하여 질소를 100cc/min의 유속으로 불어 넣었다. 소결 후에 시 펀의 냉각은 40 °C/min로 하였다.

#### IV. 결과 및 고찰

금속이나 요업재료에서 입자성장이 일어나는 속도는  $D^n - D_{n0} = Kt$ 로 나타낼 수 있다고 하였다. 여기서  $D$ 는 소결시간  $t$ 에서의 평균 입자 직경이고  $D_0$ 는  $t=0$ 에서의 평균 입자 직경이고  $K$ 는 속도 상수이다.  $\text{CdCl}_2$  액상량에 따른  $\text{CdS}$  소결막의 입자성장 변화를 관찰하기 위해  $\text{CdCl}_2$  첨가량이 10, 15, 20w/o일 때 600 °C에서 소결한  $\text{CdS}$  막들의 평균 입자크기를  $n$ 의 여러 값에 대하여 computer로 험식에 fitting하여 그림 1에 나타내었다.  $\text{CdCl}_2$  첨가량이 10 w/o일 때는 일 소결 시간이 약 40분 까지, 15 w/o일 때는 약 60분, 20w/o일 때는 약 90분 까지 직선을 나타낸 것으로 보아 직선부분을 나타낸 부분은 성장 속도가 주어  $n=3$ 으로 입자성장을 확산제어기구로 일어난다고 할 수 있다. 소결 후기에는 직선으로부터 벗어난 것을 관찰할 수 있는 데, 이것은 일반적인 액상소결과는 달리 소결온도에서  $\text{CdCl}_2$ 의 증발성이 크므로 액상이 거의 증발하면 고상을 통한 물질이 등에 의해 고상소결로 입자성장이 느리게 진행된다고 생각된다.

$\text{CdCl}_2$  증발 속도를 조절하기 위해 석영병의 직경 1mm 정도의 구멍수를 변화시켜  $\text{CdZnS}$  막을 소결하였다. 그림 2에는  $\text{CdS}$ 에  $\text{ZnS}$  15 m/o,  $\text{CdCl}_2$  15 w/o를 첨가하여 석영병의 구멍수를 (a) 4개, (b) 1개 그리고 (c) 밀폐시켜 600 °C에서 90분 소결한  $\text{CdZnS}$  막들의 표면조직을 나타내었다. (a), (b)는 소결 중에  $\text{CdCl}_2$  를 증발시킨 것으로 입자형태가 불규칙하였으나  $\text{CdCl}_2$  증발을 억제시킨 (c)의 경우는 구형 입자를 나타내었고, Seol 등[1]은  $\text{CdZnS}$  소결막에서  $\text{Zn}$  농도가 증가함에 따라 평균 입자크기가 작아지고 기공이 많아진다고 하였으나 그림 2에서처럼  $\text{CdCl}_2$  를 15w/o 첨가하여 평균 입자가 크고 치밀한 미세조직을 얻을 수 있었다. 이와 같이  $\text{CdCl}_2$  가 증발할 경우에는 불규칙한 입자형태를 나타내고  $\text{CdCl}_2$  증발이 억제될 경우에 구형입자를 나타내는 이유는 다음과 같이 설명할 수 있다. Seol 등[1]에 의하면,  $\text{CdS}$ 에  $\text{ZnS}$ 를 첨가하여 소결할 경우에 물체로 첨가한  $\text{CdCl}_2$  가  $\text{ZnS}$ 와 반응하여  $\text{CdCl}_2$ 보다 증기압이 훨씬 더 큰  $\text{ZnCl}_2$  가 생성 및 증발하면서  $\text{Zn}$  가 순실되는 소결양상을 나타낸다고 하였다. 즉 소결이 진행됨에 따라 석영병의 구멍을 통해  $\text{ZnCl}_2$  가 증발하면서 고상입자내의  $\text{Zn}$  가 순실되어 고상입자의 조성이 변하여 coherency strain energy가 발생되어 입계가 이동을 하며 이동한 자리에는 새로운 조성의 고상을 형성하는 이른바 CIGM (Chemically Induced Grain boundary Migration) 현상이 일어나기 때문에, 밀폐한 경우는 CIGM현상이 일어나지 않아 구형입자를 나타내었고 밀폐하지 않은 경우는 CIGM현상이 일어나 입자형태가 불규칙해진 것으로 설명할 수 있다. 이와 같은 CIGM현상은 핵심원소를 첨가했을 때 발견되었고[4], 요업재료에서도 발견되었다[5].

그림 3에는 그림 2의 시편들에 대한 광부과도를 소결시간에 따라 나타내었다. 광부과도는 소결막의 두께와 산란인자들에 의해 결정되는 데, 두께는 30분 이상에서는 변화가 없다고 보면 입계와 기공 같은 산란인자들에 의해 결정된다. 소결시간이 증가하면 입자크기증가에 따른 입계면적의 감소와 2차상 감소등의 산란인자 감소

의 광부과도가 증가하다가 과소결로 인해 약간씩 감소하게 된다.  $\text{CdCl}_2$  증발 속도가 빠른 경우에 60분, 느린 경우에 150분 소결했을 때 높은 광부과도를 얻을 수 있었다.

그림 4에는 그림 2의 시편들에 대한 전기저항의 변화를 소결시간에 따라 나타내었다. 소결시간 증가에 따라 입계면적의 감소와  $\text{CdCl}_2$  전류량의 감소로 인해 전기저항이 급격히 감소하였고  $\text{CdCl}_2$  증발 속도가 빠른 경우에 120분, 느린 경우에 150분 소결했을 때 낮은 전기저항을 나타내었다.

#### V. 결론

1.  $\text{CdS}$  소결막의 입자성장은  $\text{CdCl}_2$  액상이 어느 정도 존재할 때 액상량에 따라 성장기구가 변하지 않고 확산제어 용해재석출에 의해 진행되고 액상이 거의 증발하면 고상소결에 의해 입자성장이 진행되는 것으로 사료된다.
2.  $\text{CdZnS}$  소결막의 입자형태는  $\text{CdCl}_2$  증발 속도에 따라 달라졌고  $\text{CdCl}_2$  가 증발하는 상황에서는  $\text{CdCl}_2 + \text{ZnS} \rightarrow \text{CdS} + \text{ZnCl}_2$ 에 의해  $\text{Zn}$  가 순실되어 CIGM현상이 일어나기 때문에 불규칙한 입자형태를 나타내었다.
3.  $\text{CdCl}_2$  증발 속도를 조절하여 광부과도가 높고 전기저항이 낮은  $\text{CdZnS}$  소결막을 얻을 수 있었다.

#### VI. 참고문헌

1. Y. S. Seol and H. B. Im, "Sintering Behaviour and Electrical Properties of  $\text{Cd}_{1-x}\text{Zn}_x\text{S}$  Films Containing  $\text{CdCl}_2$ ", J. Mater. Sci., 22, 3533 (1987)
2. K. C. Park and H. B. Im, "Effect of Sintering Conditions on the Microstructure and Optical Properties of  $\text{Cd}_{1-x}\text{Zn}_x\text{S}$  Films", J. Electrochem. Soc., in press
3. K. C. Park, "Optical Properties of Sintered  $\text{Cd}_{1-x}\text{Zn}_x\text{S}$  Films and Photovoltaic Properties of Sintered  $\text{Cd}_{1-x}\text{Zn}_x\text{S}/\text{CdTe}$  Solar Cells", Ph. D. Thesis, KAIST, Korea(1988)
4. B. W. Balluffi and J. W. Cahn, "Mechanism for Diffusion Induced Grain-boundary Migration", Acta Metall., 29, 493(1981)
5. B. P. Butler and A. H. Heuer, "Grain-boundary Phase Transformations during Aging of a Partially Stabilized  $\text{ZrO}_2$ ", J. Am. Ceram. Soc., 68, 197(1985)

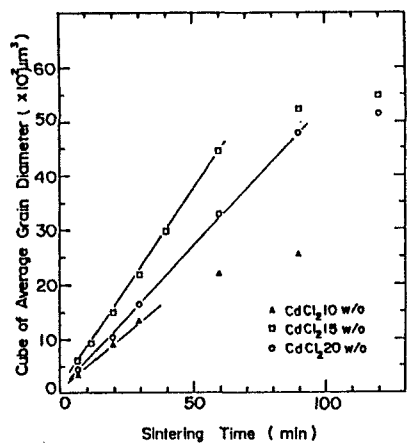


그림1. CdS소결막들의 평균 입자크기 변화

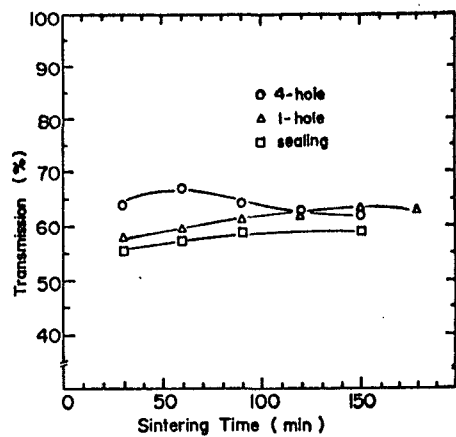


그림3.  $\text{CdCl}_2$ 증발속도에 따른 CdZnS소결막들의 광부과도

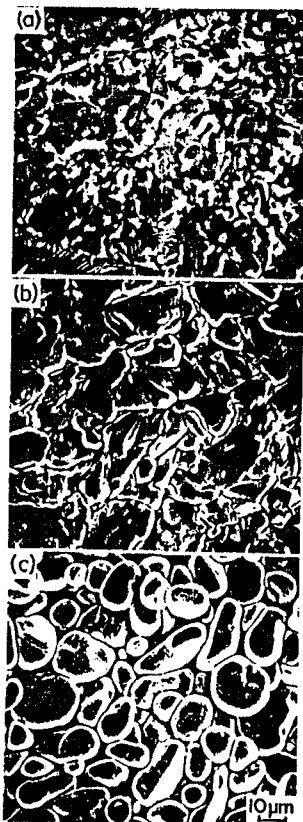


그림2.  $\text{CdCl}_2$ 증발속도를 달리하여  $600^\circ\text{C}$ 에서 90분 소결한 CdZnS막들의 SEM사진

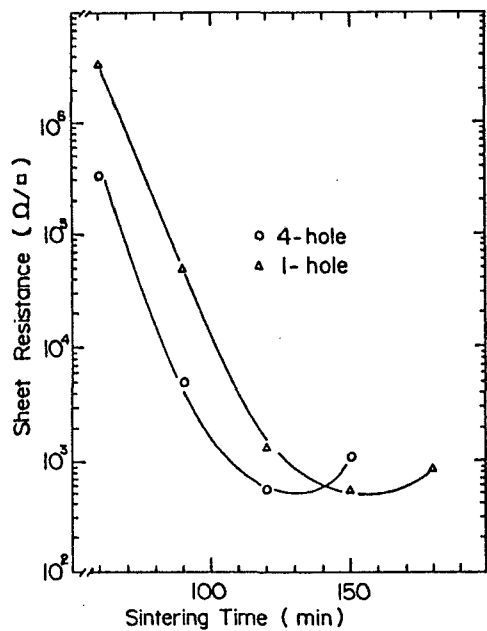


그림4.  $\text{CdCl}_2$ 증발속도에 따른 CdZnS소결막들의 전기저항